

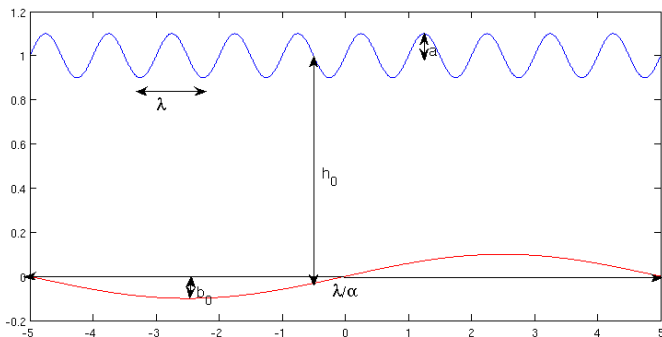
Analyse Mathématique De Problèmes En Océanographie Côtière

SAMER ISRAWI

Laboratoire de Mathématiques Appliquées de Bordeaux, Université Bordeaux 1

24 mars 2010

Position du problème



$$\mu = \frac{h_0^2}{\lambda^2}, \quad \varepsilon = \frac{a}{h_0}, \quad \beta = \frac{b_0}{h_0}$$

$$\blacktriangleright z = \varepsilon \zeta(t, x), \quad \blacktriangleright z = -1 + \beta b^{(\alpha)}(x),$$

On suppose que $\mu, \varepsilon, \alpha, \beta$ sont des petits paramètres.

Modèle initial

Problème de Water-Waves: ($d = 1$)

$$\left\{ \begin{array}{ll} \mu \partial_x^2 \varphi + \partial_z^2 \varphi = 0, & \text{pour } -1 + \beta b^{(\alpha)} < z < \varepsilon \zeta, \\ \partial_z \varphi - \mu \beta \alpha \partial_x b^{(\alpha)} \partial_x \varphi = 0 & \text{pour } z = -1 + \beta b^{(\alpha)}, \\ \partial_t \zeta - \frac{1}{\mu} (-\mu \varepsilon \partial_x \zeta \partial_x \varphi + \partial_z \varphi) = 0, & \text{pour } z = \varepsilon \zeta, \\ \partial_t \varphi + \frac{1}{2} (\varepsilon (\partial_x \varphi)^2 + \frac{\varepsilon}{\mu} (\partial_z \varphi)^2) + \zeta = 0 & \text{pour } z = \varepsilon \zeta, \end{array} \right.$$

φ potentiel et $b^{(\alpha)}(x) = b(\alpha x)$. Difficultés

Modèle initial

Problème de Water-Waves: ($d = 1$)

$$\left\{ \begin{array}{ll} \mu \partial_x^2 \varphi + \partial_z^2 \varphi = 0, & \text{pour } -1 + \beta b^{(\alpha)} < z < \varepsilon \zeta, \\ \partial_z \varphi - \mu \beta \alpha \partial_x b^{(\alpha)} \partial_x \varphi = 0 & \text{pour } z = -1 + \beta b^{(\alpha)}, \\ \partial_t \zeta - \frac{1}{\mu} (-\mu \varepsilon \partial_x \zeta \partial_x \varphi + \partial_z \varphi) = 0, & \text{pour } z = \varepsilon \zeta, \\ \partial_t \varphi + \frac{1}{2} (\varepsilon (\partial_x \varphi)^2 + \frac{\varepsilon}{\mu} (\partial_z \varphi)^2) + \zeta = 0 & \text{pour } z = \varepsilon \zeta, \end{array} \right.$$

φ potentiel et $b^{(\alpha)}(x) = b(\alpha x)$. Difficultés

- **Domaine de calcul Ω_t mobile au cours du temps**

Modèle initial

Problème de Water-Waves: ($d = 1$)

$$\left\{ \begin{array}{ll} \mu \partial_x^2 \varphi + \partial_z^2 \varphi = 0, & \text{pour } -1 + \beta b^{(\alpha)} < z < \varepsilon \zeta, \\ \partial_z \varphi - \mu \beta \alpha \partial_x b^{(\alpha)} \partial_x \varphi = 0 & \text{pour } z = -1 + \beta b^{(\alpha)}, \\ \partial_t \zeta - \frac{1}{\mu} (-\mu \varepsilon \partial_x \zeta \partial_x \varphi + \partial_z \varphi) = 0, & \text{pour } z = \varepsilon \zeta, \\ \partial_t \varphi + \frac{1}{2} (\varepsilon (\partial_x \varphi)^2 + \frac{\varepsilon}{\mu} (\partial_z \varphi)^2) + \zeta = 0 & \text{pour } z = \varepsilon \zeta, \end{array} \right.$$

φ potentiel et $b^{(\alpha)}(x) = b(\alpha x)$. Difficultés

- Domaine de calcul Ω_t mobile au cours du temps
- Calcul 2-D avec non-linéarité sur les conditions aux limites

Equations de Green-Naghdi

$$\left\{ \begin{array}{l} \partial_t \zeta + \partial_x(hu) = 0, \\ (1 + \frac{\mu}{h} \mathcal{T}[h, \beta b^{(\alpha)}]) \partial_t u + \partial_x \zeta + \varepsilon u \partial_x u \end{array} \right.$$

- $h = 1 + \varepsilon \zeta - \beta b^{(\alpha)}$ et $b^{(\alpha)}(x) = b(\alpha x)$

Equations de Green-Naghdi

$$\left\{ \begin{array}{l} \partial_t \zeta + \partial_x(hu) = 0, \\ (1 + \frac{\mu}{h} \mathcal{I}[h, \beta b^{(\alpha)}]) \partial_t u + \partial_x \zeta + \varepsilon u \partial_x u \end{array} \right.$$

- $h = 1 + \varepsilon \zeta - \beta b^{(\alpha)}$ et $b^{(\alpha)}(x) = b(\alpha x)$

-

$$\mathcal{I}[h, \beta b^{(\alpha)}] W = -\frac{1}{3} \partial_x (h^3 \partial_x W)$$

Equations de Green-Naghdi

$$\left\{ \begin{array}{l} \partial_t \zeta + \partial_x(hu) = 0, \\ (1 + \frac{\mu}{h} \mathcal{T}[h, \beta b^{(\alpha)}]) \partial_t u + \partial_x \zeta + \varepsilon u \partial_x u \\ + \mu \varepsilon \left\{ -\frac{1}{3h} \partial_x (h^3 (u \partial_x^2 u)) - (\partial_x u)^2 + \mathfrak{S}[h, \beta b^{(\alpha)}] u \right\} = 0 \end{array} \right.$$

- $h = 1 + \varepsilon \zeta - \beta b^{(\alpha)}$ et $b^{(\alpha)}(x) = b(\alpha x)$

-

$$\mathcal{T}[h, \beta b^{(\alpha)}] W = -\frac{1}{3} \partial_x (h^3 \partial_x W) + \frac{\beta}{2} \partial_x (h^2 \partial_x b^{(\alpha)}) W + \beta^2 h (\partial_x b^{(\alpha)})^2 W.$$

Résultats connus

- Dans le cas de fond plat et dans le régime de type KdV

$$\mu \ll 1, \quad \varepsilon = O(\mu),$$

Résultats connus

- Dans le cas de fond plat et dans le régime de type KdV

$$\mu \ll 1, \quad \varepsilon = O(\mu),$$

- Le modèle de KdV:

$$u_t + u_x + \frac{3}{2}\varepsilon uu_x + \frac{\mu}{6}u_{xxx} = 0,$$

Résultats connus

- Dans le cas de fond plat et dans le régime de type KdV

$$\mu \ll 1, \quad \varepsilon = O(\mu),$$

- Le modèle de KdV:

$$u_t + u_x + \frac{3}{2}\varepsilon uu_x + \frac{\mu}{6}u_{xxx} = 0,$$

- A été justifié par:

Résultats connus

- Craig, W. Commun. Partial Differ. Equations 10, (1985)

Résultats connus

- Craig, W. Commun. Partial Differ. Equations 10, (1985)
- Kano, T., Nishida, T. J. Math. (1986)

Résultats connus

- Craig, W. Commun. Partial Differ. Equations 10, (1985)
- Kano, T., Nishida, T. J. Math. (1986)
- Schneider, G., Wayne, C.E. Pure Appl. Math. (2000)

Résultats connus

- Craig, W. Commun. Partial Differ. Equations 10, (1985)
- Kano, T., Nishida, T. J. Math. (1986)
- Schneider, G., Wayne, C.E. Pure Appl. Math. (2000)
- Bona, J.L., Colin, T., Lannes, D. Arch. Ration. Mech. Anal. (2005)

Résultats connus

- Avec un fond plat, mais dans un régime de type Camassa-Holm

$$\mu \ll 1, \quad \varepsilon = O(\sqrt{\mu}),$$

Résultats connus

- Avec un fond plat, mais dans un régime de type Camassa-Holm

$$\mu \ll 1, \quad \varepsilon = O(\sqrt{\mu}),$$

- Les effets non linéaires sont plus forts

Résultats connus

- Avec un fond plat, mais dans un régime de type Camassa-Holm

$$\mu \ll 1, \quad \varepsilon = O(\sqrt{\mu}),$$

- Les effets non linéaires sont plus forts
- Johnson (2002 J. Fluid Mech) a remplacé l'équation de KdV par l'équation de CH (formellement)

Résultats connus

- Avec un fond plat, mais dans un régime de type Camassa-Holm

$$\mu \ll 1, \quad \varepsilon = O(\sqrt{\mu}),$$

- Les effets non linéaires sont plus forts
- Johnson (2002 J. Fluid Mech) a remplacé l'équation de KdV par l'équation de CH (formellement)
- Constantin et Lannes (2008 Arch. Ration. Mech. Anal.) ont rigoureusement justifié cette généralisation:

$$u_t + u_x + \frac{3}{2}\varepsilon uu_x + \mu(Au_{xxx} + Bu_{xxt}) = \varepsilon\mu(Euu_{xxx} + Fu_x u_{xx}).$$

Nouveaux résultats

- En 2009, et avec un fond non plat, (à paraître dans M2AN)

Nouveaux résultats

- En 2009, et avec un fond non plat, (à paraître dans M2AN)
- On a prouvé qu'une bonne généralisation de l'équation de CH, sous le régime $\varepsilon = O(\sqrt{\mu})$ en supposant que:
 L^∞ -CH-cond

$$\beta\alpha = O(\mu), \quad \beta\alpha^{3/2} = O(\mu^2) \quad \beta\alpha\varepsilon = O(\mu^2),$$

Nouveaux résultats

- En 2009, et avec un fond non plat, (à paraître dans M2AN)
- On a prouvé qu'une bonne généralisation de l'équation de CH, sous le régime $\varepsilon = O(\sqrt{\mu})$ en supposant que:
 L^∞ -CH-cond

$$\beta\alpha = O(\mu), \quad \beta\alpha^{3/2} = O(\mu^2) \quad \beta\alpha\varepsilon = O(\mu^2),$$

- Est l'équation CH-bott suivante:

$$\begin{aligned} u_t + cu_x + \frac{3}{2}c_x u + \frac{3}{2}\varepsilon uu_x + \mu(\tilde{A}u_{xxx} + Bu_{xxt}) \\ = \varepsilon\mu\tilde{E}uu_{xxx} + \varepsilon\mu\left(\partial_x\left(\frac{\tilde{F}}{2}u\right)u_{xx} + u_x\partial_x^2\left(\frac{\tilde{F}}{2}u\right)\right), \end{aligned}$$

Nouveaux résultats

- En 2009, et avec un fond non plat, (à paraître dans M2AN)
- On a prouvé qu'une bonne généralisation de l'équation de CH, sous le régime $\varepsilon = O(\sqrt{\mu})$ en supposant que:
 L^∞ -CH-cond

$$\beta\alpha = O(\mu), \quad \beta\alpha^{3/2} = O(\mu^2) \quad \beta\alpha\varepsilon = O(\mu^2),$$

- Est l'équation CH-bott suivante:

$$\begin{aligned} u_t + cu_x + \frac{3}{2}c_x u + \frac{3}{2}\varepsilon uu_x + \mu(\tilde{A}u_{xxx} + Bu_{xxt}) \\ = \varepsilon\mu\tilde{E}uu_{xxx} + \varepsilon\mu\left(\partial_x\left(\frac{\tilde{F}}{2}u\right)u_{xx} + u_x\partial_x^2\left(\frac{\tilde{F}}{2}u\right)\right), \end{aligned}$$

- Avec $c = \sqrt{1 - \beta b(\alpha)}$.

Les équations de GN

Dans les scalings

$$\varepsilon = O(\sqrt{\mu}), \quad \beta\alpha = O(\mu), \quad \beta\alpha^{3/2} = O(\mu^2) \quad \beta\alpha\varepsilon = O(\mu^2).$$

Les équations de GN peuvent s'écrire:

$$\begin{cases} \zeta_t + [hu]_x = 0, \\ u_t + \zeta_x + \varepsilon uu_x = \frac{\mu}{3h} [h^3(u_{xt} + \varepsilon uu_{xx} - \varepsilon u_x^2)]_x. \end{cases}$$

Résultats de consistance de type L^∞

- Si u est une solution de CH-bott sur $[0, \frac{T}{\varepsilon}]$

Résultats de consistance de type L^∞

- Si u est une solution de CH-bott sur $[0, \frac{T}{\varepsilon}]$
- ζ est donné par:

$$\zeta := cu + \frac{1}{2} \int_{-\infty}^x c_x u + \frac{\varepsilon}{4} u^2 + \frac{\mu}{6} c^4 u_{xt} - \varepsilon \mu c^4 \left[\frac{1}{6} uu_{xx} + \frac{5}{48} u_x^2 \right],$$

Résultats de consistance de type L^∞

- Si u est une solution de CH-bott sur $[0, \frac{T}{\varepsilon}]$
- ζ est donné par:

$$\zeta := cu + \frac{1}{2} \int_{-\infty}^x c_x u + \frac{\varepsilon}{4} u^2 + \frac{\mu}{6} c^4 u_{xt} - \varepsilon \mu c^4 \left[\frac{1}{6} uu_{xx} + \frac{5}{48} u_x^2 \right],$$

- Alors (u, ζ) est L^∞ -consistante sur $[0, \frac{T}{\varepsilon}]$ avec les équations de GN

Régime onde-longue

- $\varepsilon, \beta, \alpha$ et μ vérifient: L^∞ -KdV-cond

$$\varepsilon = O(\mu), \quad \alpha\beta = O(\varepsilon), \quad \alpha^{3/2}\beta = O(\varepsilon^2).$$

Les équations de Boussinesq:

$$\begin{cases} \zeta_t + [hu]_x = 0, \\ u_t + \zeta_x + \varepsilon uu_x = \frac{\mu}{3} c^4 u_{xxt}. \end{cases}$$

Régime onde-longue

- ε , β , α et μ vérifient: L^∞ -KdV-cond

$$\varepsilon = O(\mu), \quad \alpha\beta = O(\varepsilon), \quad \alpha^{3/2}\beta = O(\varepsilon^2).$$

Les équations de Boussinesq:

$$\begin{cases} \zeta_t + [hu]_x = 0, \\ u_t + \zeta_x + \varepsilon uu_x = \frac{\mu}{3} c^4 u_{xxt}. \end{cases}$$

- $h = 1 + \varepsilon\zeta - \beta b(\alpha)$ et $c^2 = 1 - \beta b(\alpha)$

Résultats de consistance pour KdV-top

- On démontre que l'équation de KdV-top:

$$\zeta_t + c\zeta_x + \frac{3}{2c}\varepsilon\zeta\zeta_x + \frac{1}{6}\mu c^5\zeta_{xxx} + \frac{1}{2}c_x\zeta = 0.$$

Est L^∞ -consistante sur $[0, \frac{T}{\varepsilon}]$ avec Boussinesq

Résultats de consistance pour KdV-top

- On démontre que l'équation de KdV-top:

$$\zeta_t + c\zeta_x + \frac{3}{2c}\varepsilon\zeta\zeta_x + \frac{1}{6}\mu c^5\zeta_{xxx} + \frac{1}{2}c_x\zeta = 0.$$

Est L^∞ -consistante sur $[0, \frac{T}{\varepsilon}]$ avec Boussinesq

- Formellement, par J. Kirby, I. Svendsen et Dingemans

Résultats de consistance de type H^s

- Les conditions H^s -cond sont:

$$\varepsilon = O(\sqrt{\mu}), \quad \beta\alpha = O(\varepsilon), \quad \beta\alpha = O(\mu^2).$$

Résultats de consistance de type H^s

- Les conditions H^s -cond sont:

$$\varepsilon = O(\sqrt{\mu}), \quad \beta\alpha = O(\varepsilon), \quad \beta\alpha = O(\mu^2).$$

- Si u est une solution de CH-bott sur $[0, \frac{T}{\varepsilon}]$

Résultats de consistance de type H^s

- Les conditions H^s -cond sont:

$$\varepsilon = O(\sqrt{\mu}), \quad \beta\alpha = O(\varepsilon), \quad \beta\alpha = O(\mu^2).$$

- Si u est une solution de CH-bott sur $[0, \frac{T}{\varepsilon}]$
- ζ est donné par:

$$\zeta := cu + \frac{\varepsilon}{4}u^2 + \frac{\mu}{6}c^4u_{xt} - \varepsilon\mu c^4\left[\frac{1}{6}uu_{xx} + \frac{5}{48}u_x^2\right],$$

Résultats de consistance de type H^s

- Les conditions H^s -cond sont:

$$\varepsilon = O(\sqrt{\mu}), \quad \beta\alpha = O(\varepsilon), \quad \beta\alpha = O(\mu^2).$$

- Si u est une solution de CH-bott sur $[0, \frac{T}{\varepsilon}]$
- ζ est donné par:

$$\zeta := cu + \frac{\varepsilon}{4}u^2 + \frac{\mu}{6}c^4u_{xt} - \varepsilon\mu c^4\left[\frac{1}{6}uu_{xx} + \frac{5}{48}u_x^2\right],$$

- Alors (u, ζ) est H^s -consistante sur $[0, \frac{T}{\varepsilon}]$ avec les équations de GN

Preuve

Le term $c_x u$ (responsable de phénomène de croissance séculaire) est d'ordre $O(\mu^2)$ dans l'espace $L^\infty([0, \frac{T}{\varepsilon}], H^s(\mathbb{R}))$

Commentaires et Théorème 1

- Nous avons construit une famille (u, ζ) *consistante* avec les équations de GN

Commentaires et Théorème 1

- Nous avons construit une famille (u, ζ) *consistante* avec les équations de GN
- Cette famille donne une bonne approximation des solutions exactes $(\underline{u}, \underline{\zeta})$ de Green-Naghdi avec mêmes données initiales

Commentaires et Théorème 1

- Nous avons construit une famille (u, ζ) *consistante* avec les équations de GN
- Cette famille donne une bonne approximation des solutions exactes $(\underline{u}, \underline{\zeta})$ de Green-Naghdi avec mêmes données initiales
- Dans le sens que $(\underline{u}, \underline{\zeta}) = (u, \zeta) + O(\mu^2 t)$ pour temps d'ordre $O(1/\varepsilon)$

Conclusion

- Alvarez-Samaniego et Lannes (Inventiones 08): GN se rapproche de problème d'Euler (Water-Waves) avec une précision $O(\mu^2 t)$

Conclusion

- Alvarez-Samaniego et Lannes (Inventiones 08): GN se rapproche de problème d'Euler (Water-Waves) avec une précision $O(\mu^2 t)$
- On a montré CH-bott se rapproche de GN avec une précision $O(\mu^2 t)$

Conclusion

- Alvarez-Samaniego et Lannes (Inventiones 08): GN se rapproche de problème d'Euler (Water-Waves) avec une précision $O(\mu^2 t)$
- On a montré CH-bott se rapproche de GN avec une précision $O(\mu^2 t)$
- Alors, CH-bott fournit une approximation au premier ordre des équations de problème d'Euler (Water-Waves) avec une précision $O(\mu^2 t)$.

Caractère bien posé de CH-bott localement en temps

$$\left| \begin{array}{l}
 (1 - \mu m \partial_x^2) u_t + c u_x + k c_x u + \sum_{j \in J} \varepsilon^j f_j u^j u_x + \mu g u_{xxx} \\
 \qquad \qquad \qquad = \varepsilon \mu \left[h_1 u u_{xxx} + \partial_x (h_2 u) u_{xx} + u_x \partial_x^2 (h_2 u) \right], \\
 u|_{t=0} = u^0
 \end{array} \right. \quad (1)$$

Caractère bien posé de CH-bott localement en temps

$$\left\{ \begin{array}{l} (1 - \mu m \partial_x^2) u_t + c u_x + k c_x u + \sum_{j \in J} \varepsilon^j f_j u^j u_x + \mu g u_{xxx} \\ \quad = \varepsilon \mu \left[h_1 u u_{xxx} + \partial_x (h_2 u) u_{xx} + u_x \partial_x^2 (h_2 u) \right], \\ u|_{t=0} = u^0 \end{array} \right. \quad (1)$$

- $m > 0$, $J \subset \mathbb{N}$, $k \in \mathbb{R}$ et $f_j = f_j(c)$, $g = g(c)$, $h_1 = h_1(c)$ et $h_2 = h_2(c)$

Théorème 2

- Théorème 2 ci-dessous, montre que le problème de Cauchy pour CH-bott est bien posé, avec $T = O(1/\varepsilon)$

Théorème 2

- Théorème 2 ci-dessous, montre que le problème de Cauchy pour CH-bott est bien posé, avec $T = O(1/\varepsilon)$
- Nous avons besoin de définir l'espace de l'énergie X^s ($s \in \mathbb{R}$) par: $X^{s+1}(\mathbb{R}) = H^{s+1}(\mathbb{R})$ muni de la norme

$$|f|_{X^{s+1}}^2 = |f|_{H^s}^2 + \mu m |\partial_x f|_{H^s}^2$$

Théorème 2

- Soit \wp une famille de paramètres $\theta = (\varepsilon, \beta, \alpha, \mu)$ satisfaisant L^∞ -CH-cond avec $\beta\alpha = O(\varepsilon)$

Théorème 2

- Soit \wp une famille de paramètres $\theta = (\varepsilon, \beta, \alpha, \mu)$ satisfaisant L^∞ -CH-cond avec $\beta\alpha = O(\varepsilon)$
- Alors pour tout $u^0 \in H^{s+1}(\mathbb{R})$, il existe une famille de solution $u_{(\theta \in \wp)}$ pour (1) appartenant à $C([0, \frac{T}{\varepsilon}]; X^{s+1}(\mathbb{R})) \cap C^1([0, \frac{T}{\varepsilon}]; X^s(\mathbb{R}))$

Caractère bien posé de KdV-top localement en temps

$$\left| \begin{array}{l} u_t + cu_x + kc_x u + \varepsilon guu_x + \frac{1}{6}\mu c^5 u_{xxx} = 0, \\ u|_{t=0} = u^0. \end{array} \right. \quad (2)$$

Où $k \in \mathbb{R}$ et $g = \frac{3}{2c}$

Théorème 3

- Soit ϑ' une famille de paramètres $\theta = (\varepsilon, \beta, \alpha, \mu)$ satisfaisant L^∞ -KdV-cond avec $\beta\alpha = O(\varepsilon)$

Théorème 3

- Soit \wp' une famille de paramètres $\theta = (\varepsilon, \beta, \alpha, \mu)$ satisfaisant L^∞ -KdV-cond avec $\beta\alpha = \mathcal{O}(\varepsilon)$
-

$$\exists c_0 > 0, \quad \forall \theta \in \wp', \quad c(x) = \sqrt{1 - \beta b^{(\alpha)}(x)} \geq c_0,$$

Théorème 3

- Soit \wp' une famille de paramètres $\theta = (\varepsilon, \beta, \alpha, \mu)$ satisfaisant L^∞ -KdV-cond avec $\beta\alpha = \mathcal{O}(\varepsilon)$
-

$$\exists c_0 > 0, \quad \forall \theta \in \wp', \quad c(x) = \sqrt{1 - \beta b^{(\alpha)}(x)} \geq c_0,$$

- Alors pour tout $u^0 \in H^{s+1}(\mathbb{R})$, il existe une famille de solution $u_{(\theta \in \wp')}$ pour KdV-top appartenant à $C([0, \frac{T}{\varepsilon}]; X^{s+1}(\mathbb{R})) \cap C^1([0, \frac{T}{\varepsilon}]; X^s(\mathbb{R}))$

Déferlement de la vague

- Il est possible de donner quelques informations sur l'explosion sur la norme L^∞ de la dérivée de la solution pour l'équation CH-choc:

Déferlement de la vague

- Il est possible de donner quelques informations sur l'explosion sur la norme L^∞ de la dérivée de la solution pour l'équation CH-choc:



$$\begin{aligned} \zeta_t + c\zeta_x + \frac{1}{2}c_x\zeta + \frac{3}{2}\varepsilon\zeta\zeta_x - \frac{3}{8}\varepsilon^2\zeta^2\zeta_x + \frac{3}{16}\varepsilon^3\zeta^3\zeta_x \\ + \frac{\mu}{12}(\zeta_{xxx} - \zeta_{xxt}) = -\frac{7}{24}\varepsilon\mu(\zeta\zeta_{xxx} + 2\zeta_x\zeta_{xx}), \end{aligned}$$

Déferlement de la vague

- Si le temps d'existence maximal $T_m > 0$ est fini

Déferlement de la vague

- Si le temps d'existence maximal $T_m > 0$ est fini
- $\zeta \in C([0, T_m); H^3(\mathbb{R})) \cap C^1([0, T_m); H^2(\mathbb{R}))$ vérifie

Déferlement de la vague

- Si le temps d'existence maximal $T_m > 0$ est fini
- $\zeta \in C([0, T_m); H^3(\mathbb{R})) \cap C^1([0, T_m); H^2(\mathbb{R}))$ vérifie
-

$$\sup_{t \in [0, T_m), x \in \mathbb{R}} \{|\zeta(t, x)|\} < \infty;$$

Déferlement de la vague

- Si le temps d'existence maximal $T_m > 0$ est fini
- $\zeta \in C([0, T_m); H^3(\mathbb{R})) \cap C^1([0, T_m); H^2(\mathbb{R}))$ vérifie

-

$$\sup_{t \in [0, T_m), x \in \mathbb{R}} \{|\zeta(t, x)|\} < \infty;$$

-

$$\sup_{x \in \mathbb{R}} \{\zeta_x(t, x)\} \uparrow \infty \quad \text{quand} \quad t \uparrow T_m.$$

Motivation

- Travail commun avec M. Duruflé

Motivation

- Travail commun avec M. Duruflé
- Valider numériquement les modèles asymptotiques développés dans la première partie

Plan

- Schémas différences finies conservatifs et semi-explicites pour KdV et Camassa-Holm dans le cas d'un fond variable

Plan

- Schémas différences finies conservatifs et semi-explicites pour KdV et Camassa-Holm dans le cas d'un fond variable
- Comparaison KdV-top / Boussinesq

Plan

- Schémas différences finies conservatifs et semi-explicites pour KdV et Camassa-Holm dans le cas d'un fond variable
- Comparaison KdV-top / Boussinesq
- Comparaison différences finies / LDG (Local Discontinuous Galerkin)

Equation de KdV

Modèle original:

$$\zeta_t + c\zeta_x + \frac{3}{2c}\varepsilon\zeta\zeta_x + \frac{1}{6}\mu c^5\zeta_{xxx} + \frac{1}{2}c_x\zeta = 0,$$

- **Problème : Modèle non-conservatif (stabilité exponentielle)**

Modèle gentil :

$$\zeta_t + c\zeta_x + \frac{3}{2}\varepsilon\zeta\zeta_x + \frac{1}{6}\mu\zeta_{xxx} + \frac{1}{2}c_x\zeta = 0,$$

Modèle violent :

$$\zeta_t + c\zeta_x + \frac{3}{2}\left(\frac{1}{c}\right)^{2/3}\varepsilon\zeta\left(\left(\frac{1}{c}\right)^{1/3}\zeta\right)_x + \frac{1}{6}\mu\Gamma_3\zeta + \frac{1}{2}c_x\zeta = 0,$$

$$\Gamma_3\zeta = c^5\zeta_{xxx} + \frac{3}{2}(c^5)_x\zeta_{xx} + \frac{3}{4}(c^5)_{xx}\zeta_x + \frac{1}{8}(c^5)_{xxx}\zeta.$$

Equation de Camassa-Holm

Modèle original:

$$\zeta_t + c\zeta_x + \frac{1}{2}c_x\zeta + \frac{3}{2c}\varepsilon\zeta\zeta_x - \frac{3}{8c^3}\varepsilon^2\zeta^2\zeta_x + \frac{3}{16c^5}\varepsilon^3\zeta^3\zeta_x$$

$$+ \mu(\tilde{A}\zeta_{xxx} + B\zeta_{xxt}) = \varepsilon\mu\tilde{E}\zeta\zeta_{xxx} + \varepsilon\mu\left(\partial_x\left(\frac{\tilde{F}}{2}\zeta\right)\zeta_{xx} + \zeta_x\partial_x^2\left(\frac{\tilde{F}}{2}\zeta\right)\right),$$

Modèle gentil :

$$\zeta_t + c\zeta_x + \frac{1}{2}c_x\zeta + \frac{3}{2}\varepsilon\zeta\zeta_x - \frac{3}{8}\varepsilon^2\zeta^2\zeta_x + \frac{3}{16}\varepsilon^3\zeta^3\zeta_x$$

$$+ \frac{\mu}{12}(\zeta_{xxx} - \zeta_{xxt}) = -\frac{7}{24}\varepsilon\mu(\zeta\zeta_{xxx} + 2\zeta_x\zeta_{xx}).$$

Equation de Camassa-Holm

Modèle violent :

$$\begin{aligned} \zeta_t + c\zeta_x + \frac{1}{2}c_x\zeta + \frac{3}{2}\varepsilon\left(\frac{1}{c}\right)^{2/3}\zeta\left(\left(\frac{1}{c}\right)^{1/3}\zeta\right)_x \\ - \frac{3\varepsilon^2}{8}\left(\frac{1}{c^3}\right)^{1/4}\left(\left(\frac{1}{c^3}\right)^{1/4}\zeta\right)^2\left(\left(\frac{1}{c^3}\right)^{1/4}\zeta\right)_x + \frac{3}{16}\varepsilon^3\frac{1}{c}\left(\frac{1}{c}\zeta\right)^3\left(\frac{1}{c}\zeta\right)_x \\ + \mu(a_{1/12})^{1/2}\left((a_{1/12})^{1/2}\zeta\right)_{xxx} - \mu(b_{1/12})^{1/2}\left((b_{1/12})^{1/2}\zeta\right)_{xxx} \\ - \frac{\mu}{12}\zeta_{xxt} = -\frac{7}{24}\varepsilon\mu(\zeta\zeta_{xxx} + 2\zeta_x\zeta_{xx}). \end{aligned}$$

Où, $a_{1/12} = \frac{1}{6}c^5$ et $b_{1/12} = \frac{1}{12}c$.

Schéma différences finies

Discrétisation de $u^p u_x$ (p entier)

Choix simple : $u^p D_1 u$

$$\text{Avec } D_1 u = \frac{u_{i+1} - u_{i-1}}{2\Delta x}$$

$$\text{IPP} \Rightarrow (u^{p+1}, D_1 u) = -(D_1(u^{p+1}), u)$$

$$\text{Choix conservatif : } \frac{1}{p+2} (u^p D_1 u + D_1 u^{p+1})$$

Avec un schéma semi-explicite :

$$\frac{1}{p+2} \left[(u^p)^{n+1/2} D_1 \frac{u^n + u^{n+1}}{2} + D_1 \left((u^p)^{n+1/2} \frac{u^n + u^{n+1}}{2} \right) \right]$$

Schéma différences finies

Schéma semi-explicite pour KdV-top conserve exactement l'énergie discrète

$$\frac{\zeta^{n+1} - \zeta^n}{\Delta t} + D_1^v \frac{\zeta^{n+1} + \zeta^n}{2} + \frac{\mu}{6} \left(D_3^v \frac{\zeta^{n+1} + \zeta^n}{2} \right) + \frac{\varepsilon}{2} \left(\frac{1}{c} \right)^{1/3} \left[v^{n+1/2} D_1 \left(\frac{v^{n+1} + v^n}{2} \right) + D_1 \left(v^{n+1/2} \frac{v^{n+1} + v^n}{2} \right) \right] = 0$$

Où,

$$v = \left(\frac{1}{c} \right)^{1/3} \zeta.$$

Schéma pour Camassa-Holm

Terme supplémentaire : $2\zeta_{xx}\zeta_x + \zeta_{xxx}\zeta$

Si on pose $f[u] = u_{xx}$, on a $2f[u]u_x + f[u]_x u$

Discrétisation conservative : $f[u]D_1 u + D_1(f[u]u)$

Discrétisation semi-explicite :

$$f[u^{n+1/2}] D_1 \left(\frac{u^{n+1} + u^n}{2} \right) + D_1 (f[u^{n+1/2}] \frac{u^{n+1} + u^n}{2})$$

Comparaison KdV/Bouss (convergence)

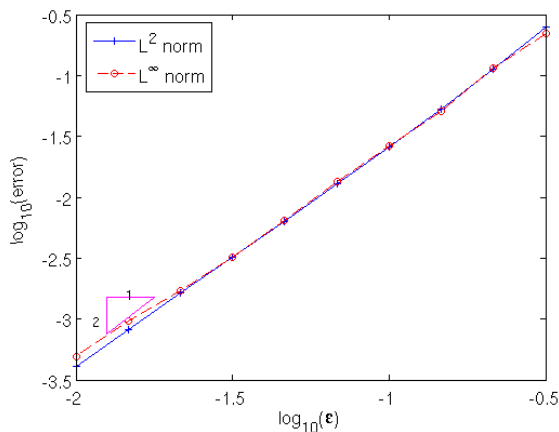


Figure: Erreur relative entre les solutions de Boussinesq et KdV pour un fond plat (Log-log scale)

Comparaison KdV-top/Bouss (convergence)

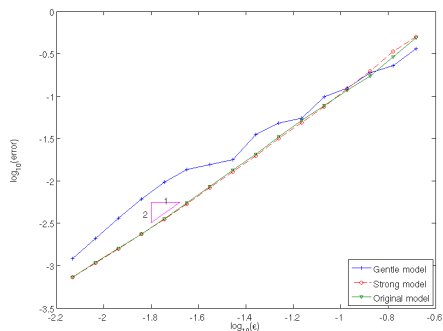
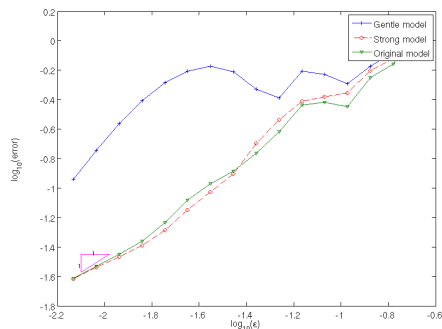


Figure: Erreur relative entre les solutions de Boussinesq et KdV-top pour un fond sinusoïdal (Log-log scale). À gauche $\alpha = 0.5\epsilon$, $\beta = 0.5$, à droite $\alpha = 0.5\epsilon$, $\beta = \epsilon$.

Comparaison modèles de CH $T = 20$ fond sinus

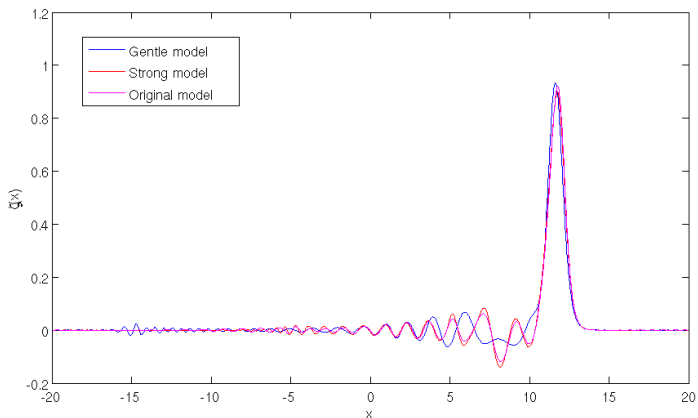


Figure: ($c_1 = 0.5$, $\mu = 0.05$, $\varepsilon = \sqrt{\mu}$, $\alpha = 0.5\varepsilon$, $\beta = \varepsilon$)

Comparaison différences finies/LDG: convergence

Erreurs L^2 pour un soliton et un fond sinusoïdal (modèle gentil):

LDG, order 3

Error	Order
1.770e-2	-
2.124e-3	3.06
4.347e-5	5.61
2.460e-6	4.14
1.600e-7	3.95

LDG, order 7

Error	Order
9.192e-3	-
3.247e-5	8.15
1.785e-7	7.51
7.071e-10	7.98
2.926e-12	7.92

Finite Difference

Error	Order
2.395e-1	-
6.804e-2	1.82
1.743e-2	1.97
4.367e-3	1.997
1.092e-3	2.00

Comparaison différences finies/LDG: performance

Pour une erreur à 1% :

	LDG ordre 5	DF
Pas de temps	$\Delta t = 0.2$ (ordre 4)	$\Delta t = 0.01$
Erreur	0.92 %	1.63 %
Nombre ddls pour ζ	1440 ddls	15 000 ddls
Temps calcul (solveur Mumps)	33 s	732s
Temps calcul (solveur optimal)	x	71s

Comparaison différences finies/LDG: performance

Pour une erreur à 10% :

	LDG ordre 5	DF
Pas de temps	$\Delta t = 0.25$ (ordre 4)	$\Delta t = 0.05$
Erreur	8.92 %	9.6 %
Nombre ddls pour ζ	990 ddls	4 000 ddls
Temps calcul (solveur Mumps)	19 s	22s
Temps calcul (solveur optimal)	x	1s

Les équations de Green-Naghdi

- La vitesse horizontale intégrée sur la verticale

$$v(t, X) = \frac{1}{1 + \varepsilon\zeta - \beta b} \int_{-1+\beta b}^{\varepsilon\zeta} \nabla\varphi(t, X, z) dz, \quad (3)$$

Les équations de Green-Naghdi

- La vitesse horizontale intégrée sur la verticale

$$v(t, X) = \frac{1}{1 + \varepsilon\zeta - \beta b} \int_{-1+\beta b}^{\varepsilon\zeta} \nabla\varphi(t, X, z) dz, \quad (3)$$

-

$$\begin{cases} \partial_t \zeta + \nabla \cdot (hv) = 0, \\ (h + \mu T[h, \varepsilon b]) \partial_t v + h \nabla \zeta + \varepsilon (h + \mu T[h, \varepsilon b]) (v \cdot \nabla) v \\ + \mu \varepsilon \left\{ \frac{2}{3} \nabla [(h^3 (\partial_1 v \cdot \partial_2 v^\perp + (\nabla \cdot v)^2))] + \mathfrak{R}[h, \varepsilon b](v) \right\} = 0, \end{cases} \quad (4)$$

Où, $v = (V_1, V_2)^T$, $v^\perp = (-V_2, V_1)^T$

Problème



$$\mathcal{I}[h, \varepsilon b]W = -\frac{1}{3}\nabla(h^3\nabla \cdot W)$$

Problème



$$\mathcal{I}[h, \varepsilon b]W = -\frac{1}{3}\nabla(h^3\nabla \cdot W) + \frac{\varepsilon}{2}[\nabla(h^2\nabla b \cdot W) - h^2\nabla b\nabla \cdot W] + \varepsilon^2 h\nabla b\nabla b \cdot W.$$

- La norme de l'énergie $|\cdot|_{Y^s}$ associée à (4) est donnée par:

$$|(\zeta, \nu)|_{Y^s}^2 = |\zeta|_{H^s}^2 + |\nu|_{H^s}^2 + \mu|\nabla \cdot \nu|_{H^s}^2,$$

Problème



$$\mathcal{I}[h, \varepsilon b]W = -\frac{1}{3}\nabla(h^3\nabla \cdot W) + \frac{\varepsilon}{2}[\nabla(h^2\nabla b \cdot W) - h^2\nabla b\nabla \cdot W] + \varepsilon^2 h\nabla b\nabla b \cdot W.$$

- La norme de l'énergie $|\cdot|_{Y^s}$ associée à (4) est donnée par:

$$|(\zeta, \mathbf{v})|_{Y^s}^2 = |\zeta|_{H^s}^2 + |\mathbf{v}|_{H^s}^2 + \mu|\nabla \cdot \mathbf{v}|_{H^s}^2,$$

- Le terme $\partial_1 v \cdot \partial_2 v^\perp$ n'est pas contrôlé par la norme $|\cdot|_{Y^s}$

1D Green-Naghdi

- Pour 1D de surface, les équations de GN (4) peuvent simplifier sous cette forme

$$\begin{cases} \partial_t \zeta + \partial_x(hv) = 0, \\ (h + \mu h T[h, \varepsilon b])[\partial_t v + \varepsilon v \partial_x v] + h \partial_x \zeta + \varepsilon \mu h Q[h, \varepsilon b](v) = 0. \end{cases} \quad (5)$$

1D Green-Naghdi

- Pour 1D de surface, les équations de GN (4) peuvent simplifier sous cette forme

$$\begin{cases} \partial_t \zeta + \partial_x(hv) = 0, \\ (h + \mu hT[h, \varepsilon b])[\partial_t v + \varepsilon v \partial_x v] + h \partial_x \zeta + \varepsilon \mu h Q[h, \varepsilon b](v) = 0. \end{cases} \quad (5)$$

- Il est clair, que dans le cas $d = 1$

$$\partial_1 v \cdot \partial_2 v^\perp = 0.$$

Résultats connus

- Une justification rigoureuse récente en $1D$ et $2D$ de GN a été donné par:

Résultats connus

- Une justification rigoureuse récente en $1D$ et $2D$ de GN a été donné par:
- Y. A. Li. *Appl. Math.*(2005) (pour $b = 0$, $d = 1$) en utilisant une méthode de point fixe de type Picard

Résultats connus

- Une justification rigoureuse récente en $1D$ et $2D$ de GN a été donné par:
- Y. A. Li. Appl. Math.(2005) (pour $b = 0$, $d = 1$) en utilisant une méthode de point fixe de type Picard
- B. Alvarez-Samaniego et D. Lannes (Indiana Univ. Math 08) dans le cas général en utilisant une méthode de type Nash-Moser

Résultats connus

- Une justification rigoureuse récente en $1D$ et $2D$ de GN a été donné par:
- Y. A. Li. Appl. Math.(2005) (pour $b = 0$, $d = 1$) en utilisant une méthode de point fixe de type Picard
- B. Alvarez-Samaniego et D. Lannes (Indiana Univ. Math 08) dans le cas général en utilisant une méthode de type Nash-Moser
- Car Les équations linéarisées comportent des pertes de dérivées

Nouveaux résultats ($d = 1$)

- Théorème 4 ci-dessous, montre que le modèle de GN (5) admet une solution unique avec $T = O(1/\varepsilon)$, sous la condition suivante

$$\exists h_{min} > 0, \quad \inf_{x \in \mathbb{R}} h \geq h_{min}, \quad h = 1 + \varepsilon(\zeta - b), \quad (6)$$

Nouveaux résultats ($d = 1$)

- Théorème 4 ci-dessous, montre que le modèle de GN (5) admet une solution unique avec $T = O(1/\varepsilon)$, sous la condition suivante

$$\exists h_{min} > 0, \quad \inf_{x \in \mathbb{R}} h \geq h_{min}, \quad h = 1 + \varepsilon(\zeta - b), \quad (6)$$

- Nous avons besoin de définir l'espace de l'énergie X^s ($s \in \mathbb{R}$) par: $H^s(\mathbb{R}) \times H^{s+1}(\mathbb{R})$ muni de la norme

$$\forall U = (\zeta, v) \in X^s, \quad |U|_{X^s}^2 := |\zeta|_{H^s}^2 + |v|_{H^s}^2 + \mu |\partial_x v|_{H^s}^2,$$

Théorème 4

- Pour tout $U_0 = (\zeta_0, v_0)^T \in X^s$, vérifie (6), les équations de GN (5) admettent une solution unique $U = (\zeta, v)^T$ appartenant à $C([0, \frac{T}{\varepsilon}]; X^s(\mathbb{R}))$.

Nouveaux résultats ($d = 2$)

- On définit la trace du potentiel φ sur la surface libre par

$$\psi = \varphi|_{z=\varepsilon\zeta},$$

Nouveaux résultats ($d = 2$)

- On définit la trace du potentiel φ sur la surface libre par

$$\psi = \varphi|_{z=\varepsilon\zeta},$$

- Où, φ potentiel de vitesse

Nouveaux résultats ($d = 2$)

- On définit la trace du potentiel φ sur la surface libre par

$$\psi = \varphi|_{z=\varepsilon\zeta},$$

- Où, φ potentiel de vitesse
- Comme on a:

$$\nabla\psi = \mathbf{v} + \frac{\mu}{h}\mathcal{I}[h, \varepsilon\mathbf{b}]\nabla\psi + \mathcal{O}(\mu^2);$$

Nouveaux résultats ($d = 2$)

- On définit la trace du potentiel φ sur la surface libre par

$$\psi = \varphi|_{z=\varepsilon\zeta},$$

- Où, φ potentiel de vitesse
- Comme on a:

$$\nabla\psi = \mathbf{v} + \frac{\mu}{h} \mathcal{I}[h, \varepsilon\mathbf{b}] \nabla\psi + O(\mu^2);$$

- On obtient

$$\begin{aligned} \operatorname{curl} \partial_t \mathbf{v} &= O(\mu), \\ \operatorname{curl} (\mathbf{v} \cdot \nabla) \mathbf{v} &= O(\mu). \end{aligned}$$

Nouveaux résultats ($d = 2$)

- Les quantités $\mu \nabla^\perp \operatorname{curl} \partial_t \mathbf{v}$ et $\mu \nabla^\perp \operatorname{curl} \varepsilon(\mathbf{v} \cdot \nabla) \mathbf{v}$ sont d'ordre $O(\mu^2)$ qui est la précision des équations de GN (4)

Nouveaux résultats ($d = 2$)

- Les quantités $\mu \nabla^\perp \operatorname{curl} \partial_t \mathbf{v}$ et $\mu \nabla^\perp \operatorname{curl} \varepsilon(\mathbf{v} \cdot \nabla) \mathbf{v}$ sont d'ordre $O(\mu^2)$ qui est la précision des équations de GN (4)
- Nous pouvons donc inclure ces nouveaux termes dans la deuxième équation de GN (4) pour obtenir

$$\left\{ \begin{array}{l} \partial_t \zeta + \nabla \cdot (h\mathbf{v}) = 0, \\ \left(h + \mu(\mathcal{T}[h, \varepsilon \mathbf{b}] - \nabla^\perp \operatorname{curl}) \right) \partial_t \mathbf{v} + h \nabla \zeta \\ + \varepsilon \left(h + \mu(\mathcal{T}[h, \varepsilon \mathbf{b}] - \nabla^\perp \operatorname{curl}) \right) (\mathbf{v} \cdot \nabla) \mathbf{v} \\ + \mu \varepsilon \left\{ \frac{2}{3} \nabla [h^3 (\partial_1 \mathbf{v} \cdot \partial_2 \mathbf{v}^\perp + (\nabla \cdot \mathbf{v})^2)] + \mathfrak{R}[h, \varepsilon \mathbf{b}](\mathbf{v}) \right\} = O(\mu^2). \end{array} \right. \quad (7)$$

Théorème 5

- Nous avons besoin de définir l'espace de l'énergie Z^s ($s \in \mathbb{R}$) par: $H^s(\mathbb{R}^2) \times (H^{s+1}(\mathbb{R}^2))^2$ muni de la norme

$$|U|_{Z^s}^2 := |\zeta|_{H^s}^2 + |v|_{H^s}^2 + \mu |\nabla \cdot v|_{H^s}^2 + \mu |\operatorname{curl} v|_{H^s}^2.$$

Théorème 5

- Nous avons besoin de définir l'espace de l'énergie Z^s ($s \in \mathbb{R}$) par: $H^s(\mathbb{R}^2) \times (H^{s+1}(\mathbb{R}^2))^2$ muni de la norme

$$|U|_{Z^s}^2 := |\zeta|_{H^s}^2 + |v|_{H^s}^2 + \mu |\nabla \cdot v|_{H^s}^2 + \mu |\operatorname{curl} v|_{H^s}^2.$$

- Pour tout $U_0 = (\zeta_0, v_0^T)^T \in Z^s$, et vérifie

$$\exists h_{\min} > 0, \quad \inf_{X \in \mathbb{R}^2} h \geq h_{\min}, \quad h = 1 + \varepsilon(\zeta - b), \quad (8)$$

Théorème 5

- Nous avons besoin de définir l'espace de l'énergie Z^s ($s \in \mathbb{R}$) par: $H^s(\mathbb{R}^2) \times (H^{s+1}(\mathbb{R}^2))^2$ muni de la norme

$$|U|_{Z^s}^2 := |\zeta|_{H^s}^2 + |v|_{H^s}^2 + \mu |\nabla \cdot v|_{H^s}^2 + \mu |\operatorname{curl} v|_{H^s}^2.$$

- Pour tout $U_0 = (\zeta_0, v_0^T)^T \in Z^s$, et vérifie

$$\exists h_{min} > 0, \quad \inf_{X \in \mathbb{R}^2} h \geq h_{min}, \quad h = 1 + \varepsilon(\zeta - b), \quad (8)$$

- Le *nouveau modèle GN (7)* admet une solution unique $U = (\zeta, v^T)^T$ appartenant à $C([0, \frac{T}{\varepsilon}]; Z^s(\mathbb{R}^2))$.

MERCI!